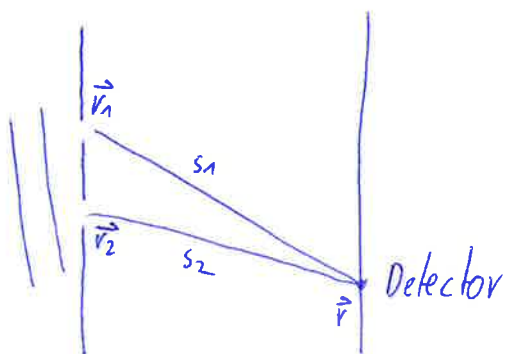


10. Quantum coherence functions

10.1 classical coherence functions

Double-slit experiment:



Condition for interference:

$$\Delta s \leq \frac{c}{\Delta \omega} \quad (10.1) \quad , \quad \text{where } \Delta \omega \dots \text{bandwidth of the light (spectral)}$$

\Rightarrow ~~Reqd~~
coherence length

$$\Delta s = |s_1 - s_2| \dots \text{path length difference}$$

$$\Delta s_{\text{coh}} = \frac{c}{\Delta \omega} \quad (10.2)$$

coherence time

$$\Delta t_{\text{coh}} = \frac{\Delta s_{\text{coh}}}{c} = \frac{1}{\Delta \omega} \quad (10.3)$$

$$\Rightarrow \text{interference, if } \Delta t_{\text{coh}} \cdot \Delta \omega \lesssim 1 \quad (10.4)$$

Quantitative derivation

Field at the detector at time t is superposition of fields at positions \vec{r}_1, \vec{r}_2 at earlier times $t_1 = t - \frac{s_1}{c}, t_2 = t - \frac{s_2}{c}$

$$E(\vec{r}, t) = k_1 E(\vec{r}_1, t_1) + k_2 E(\vec{r}_2, t_2) \quad (k_1, k_2 \dots \text{complex geom. factors})$$

Note: We assume both fields have same polarization
 \Rightarrow scalar

Detector is "slow" compared to light frequency
 \Rightarrow measures only mean light intensity

$$I(\vec{r}) = \langle |E(\vec{r}, t)|^2 \rangle \quad (10.6)$$

where $\langle \dots \rangle$ is the time average

$$\langle f(t) \rangle = \lim_{T \rightarrow \infty} \frac{1}{T} \int_0^T f(t) dt \quad (10.7)$$

In the following we assume: time average is stationary
 \Leftrightarrow independent of t_0

From (10.5)

$$I(\vec{r}) = |k_1|^2 \langle |E(x_1)|^2 \rangle + |k_2|^2 \langle |E(x_2)|^2 \rangle + 2 \operatorname{Re}(k_1^* k_2 \langle E^*(x_1) E(x_2) \rangle) \quad (10.8)$$

with $x_i = (\vec{r}_i, t_i)$

$$\begin{aligned} \text{Using: } I_1 &= |k_1|^2 \langle |E(x_1)|^2 \rangle \\ I_2 &= |k_2|^2 \langle |E(x_2)|^2 \rangle \end{aligned} \quad (10.9)$$

and the normalized ^{first order} coherence function:

$$g^{(1)}(x_1, x_2) = \frac{\langle E^*(x_1) E(x_2) \rangle}{\sqrt{\langle |E(x_1)|^2 \rangle \langle |E(x_2)|^2 \rangle}} \quad (10.10)$$

$$\Rightarrow I(\vec{r}) = I_1 + I_2 + 2 \sqrt{I_1 I_2} \cdot \operatorname{Re}[g^{(1)}(x_1, x_2)] \quad (10.11) \quad (k_i \text{ purely imaginary})$$

$$\text{with } g^{(1)}(x_1, x_2) = |g^{(1)}(x_1, x_2)| \cdot e^{i\phi_{12}} \quad (10.12)$$

and ~~$\phi_{12} = \phi_2 - \phi_1$~~

$$\Rightarrow I(\vec{r}) = I_1 + I_2 + 2 \sqrt{I_1 I_2} |g^{(1)}(x_1, x_2)| \cos(\phi_{12}) \quad (10.13)$$

where ϕ_{12} depends on Δs

Note:

- (10.13) \Rightarrow interference if $|\gamma^{(1)}(x_1, x_2)| \neq 0$

- three cases:

$|\gamma^{(1)}(x_1, x_2)| = 1 \Rightarrow$ full coherence

$0 < |\gamma^{(1)}(x_1, x_2)| < 1 \Rightarrow$ partial coh. (10.14)

$|\gamma^{(1)}(x_1, x_2)| = 0 \Rightarrow$ no coh.

Visibility of interference signal:

$$V = \frac{I_{\max} - I_{\min}}{I_{\max} + I_{\min}} \quad (10.15)$$

$$\Rightarrow \text{(from 10.13)} \quad V = \frac{2\sqrt{I_1 I_2} |\gamma^{(1)}(x_1, x_2)|}{I_1 + I_2} \quad (10.16)$$

Remarks

- full coherence \Rightarrow visibility (contrast) maximal:

$$V = \frac{2\sqrt{I_1 I_2}}{I_1 + I_2} \quad (10.17)$$

- no coh. \Rightarrow no visibility $V = 0$ (10.18)

- For full coherence, (10.10) yields

$$|\langle E^*(x_1) E(x_2) \rangle| = \sqrt{\langle |E(x_1)|^2 \rangle} \sqrt{\langle |E(x_2)|^2 \rangle} \quad (10.19)$$

Examples:

1) temporal coherence of stationary light field at fixed position. Consider monochromatic field that propagates in z -direction. At position z and times t and $t+\tau$:

$$\Rightarrow E(x_1) = E(z, t) = E_0 e^{i(kz - \omega t)}$$

$$E(x_2) = E(z, t + \tau) = E_0 e^{i(kz - \omega(t + \tau))} \quad (10.20)$$

$$\Rightarrow \langle E^*(x_1) E(x_2) \rangle = E_0^2 e^{-i\omega\tau} \quad (10.21)$$

$$\Rightarrow \gamma^{(1)}(x_1, x_2) = \gamma^{(1)}(\tau) = \gamma^{(1)*}(-\tau) = e^{-i\omega\tau} \quad (10.22)$$

$$\Rightarrow |\gamma^{(1)}(\tau)| = 1 \Rightarrow \text{fully temporal coherent}$$

Note:

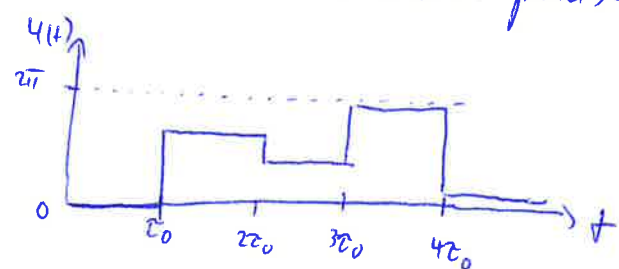
- $\langle E^*(t) E(t+\tau) \rangle$ is also called auto-correlation function
- example is non-physical: There are no perfect monochrom. light sources

2) more realistic model of "monochromatic" light:

The source emits "monochrom" wave trains of the coherence time τ_0 , each which are separated by sudden phase jumps at $\tau_0, 2\tau_0, \dots$ (spont. emission)

$$\Rightarrow E(z, t) = E_0 e^{i(kz - \omega t)} \cdot e^{i\phi(t)} \quad (10.23)$$

with $\phi(t)$: random phase jump within $[0, 2\pi]$ at times $n \cdot \tau_0$

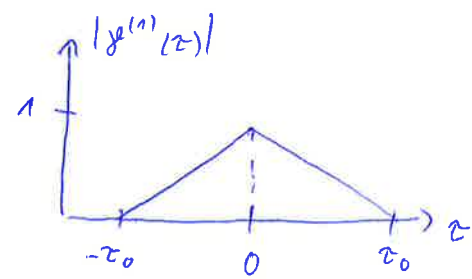


$$\Rightarrow \gamma^{(1)}(\tau) = \left(1 - \frac{\tau}{\tau_0}\right) e^{-i\omega\tau} \quad \text{for } \tau \leq \tau_0$$

$$= 0 \quad \text{for } \tau > \tau_0 \quad (10.24)$$

$$|\gamma^{(1)}(\tau)| = \left(1 - \frac{\tau}{\tau_0}\right) \quad \text{for } \tau \leq \tau_0$$

$$= 0 \quad \text{for } \tau > \tau_0 \quad (10.25)$$



perfect coherence for $\tau=0$, but coherence vanishes when τ is larger than the coherence time τ_0 .

10.2 Quantum mechanical description

10.2 Quantentheoretische Beschreibung

Bemerkungen:

* Bestimmung von Lichtintensität \rightarrow Messung der Reaktion eines Systems, das das Licht durch Absorption von Photonen abschwächt

* Im Folgenden: Detektor $\hat{=}$ einzelnes Atom, welches durch Licht ionisiert wird und dessen Photoelektron detektiert wird

Kopplung zwischen Einzelatom-Detektor und quantisiertem Lichtfeld: Dipol-WW-Operator

(vgl. (4.2)): $\hat{H}_{\text{WW}} = -\hat{\mathbf{d}} \cdot \hat{\mathbf{E}}(\vec{r}, t)$ (10.26) (Heisenberg-picture)

wobei (vgl. (6.18))

$$\hat{\mathbf{E}}(\vec{r}, t) = i \sum_{\mathbf{s}} \sqrt{\frac{\hbar \omega_{\mathbf{s}}}{2 \epsilon_0 V}} \vec{\epsilon}_{\mathbf{s}} [\hat{a}_{\mathbf{s}}(t) \exp(i \vec{k} \cdot \vec{r}) - \hat{a}_{\mathbf{s}}^\dagger \exp(-i \vec{k} \cdot \vec{r})] \quad (10.34)$$

Dipolnäherung ($|\vec{k} \cdot \vec{r}| \ll 1$)

$$\Rightarrow \hat{\mathbf{E}}(\vec{r}, t) \approx i \sum_{\mathbf{s}} \sqrt{\frac{\hbar \omega_{\mathbf{s}}}{2 \epsilon_0 V}} \vec{\epsilon}_{\mathbf{s}} [\hat{a}_{\mathbf{s}}(t) - \hat{a}_{\mathbf{s}}^\dagger(t)] \quad (10.35)$$

Absorption \rightarrow Betrachte nur Feldkomponente mit „positiver Frequenz“ (Komp. abh. von Verschieber):

$$\hat{\mathbf{E}}^{(+)}(\vec{r}, t) = i \sum_{\mathbf{s}} \sqrt{\frac{\hbar \omega_{\mathbf{s}}}{2 \epsilon_0 V}} \vec{\epsilon}_{\mathbf{s}} \hat{a}_{\mathbf{s}}(t) \quad (10.36)$$

(SP) $(\hat{\mathbf{E}}^{(+)} \sim \hat{\mathbf{a}} e^{-i \omega t})$

Anfangsbed.: Atom in $|g\rangle$ und Feld in $|i\rangle$

Endzustand: Atom ionisiert ($|e\rangle$) und Feld in $|f\rangle$

Kurz: Anfangszust. $|I\rangle = |g\rangle |i\rangle$

Endzust. $|F\rangle = |e\rangle |f\rangle$

Übergangs-Matrixelement:

$$\langle F | \hat{H}_{\text{int}} | I \rangle = - \langle e | \hat{d} | g \rangle \langle f | \hat{E}^{(+)}(\vec{r}, t) | i \rangle \quad (10.37)$$

Übergangsw.keit des Atom-Feld-Systems prop. zu

$$|\langle F | \hat{H}_{\text{int}} | I \rangle|^2 \quad (10.38)$$

Übergangsw.keit des Feldes von Zust. $|i\rangle$ nach $|f\rangle$

prop. zu $|\langle f | \hat{E}^{(+)}(\vec{r}, t) | i \rangle|^2 \quad (10.39)$

Wir messen nur Endzust. des Detektors (des Atoms)

\rightarrow summiere über alle mögl. Endzust. des Feldes:

$$\begin{aligned} & \sum_f |\langle f | \hat{E}^{(+)}(\vec{r}, t) | i \rangle|^2 \\ &= \sum_f \langle i | \hat{E}^{(-)}(\vec{r}, t) | f \rangle \langle f | \hat{E}^{(+)}(\vec{r}, t) | i \rangle \\ &= \langle i | \hat{E}^{(-)}(\vec{r}, t) \cdot \hat{E}^{(+)}(\vec{r}, t) | i \rangle \quad (10.40) \end{aligned}$$

wobei $\hat{E}^{(-)}(\vec{r}, t) = [\hat{E}^{(+)}(\vec{r}, t)]^\dagger \quad (10.41)$

und ang. wurde, dass die Zust. $|f\rangle$ eine vollst. Basis bilden.

Beachte: Bis jetzt angen.: Feld in reinem Zust. $|i\rangle$.
Allgemeiner: Feldzust. entspricht statistischem Gemisch \rightarrow verwende Dichteoperator

$$\hat{\rho} = \sum_i P_i |i\rangle \langle i| \quad (10.42)$$

Damit wird aus Erwartungswert (10.40) das Ensemblemittel

$$\begin{aligned} & \text{Sp} \{ \hat{\rho} \hat{E}^{(-)}(\vec{r}, t) \cdot \hat{E}^{(+)}(\vec{r}, t) \} \\ & = \sum_i P_i \langle i | \hat{E}^{(-)}(\vec{r}, t) \cdot \hat{E}^{(+)}(\vec{r}, t) | i \rangle \end{aligned} \quad (10.43)$$

Ab jetzt angen.: Felder gleicher Polarisation
 \Rightarrow als Skalare behandeln

Die Absorptionsw.keit ist somit proportional zu

$$I(\vec{r}, t) = \text{Sp} \{ \hat{\rho} \hat{E}^{(-)}(\vec{r}, t) \hat{E}^{(+)}(\vec{r}, t) \} \quad (10.44)$$

wobei $I(\vec{r}, t)$: Intensität.

Betrachte nun Doppelspaltexp. aus Kap. 10.1:
 Feldkomp. positiver Freq. am Ort des Detektors \vec{r}
 (vgl. (10.5))

$$\hat{E}^{(+)}(\vec{r}, t) = K_1 \hat{E}^{(+)}(\vec{r}_1, t) + K_2 \hat{E}^{(+)}(\vec{r}_2, t) \quad (10.45)$$

\Rightarrow Intensität am Ort des Detektors:

$$\begin{aligned} I(\vec{r}, t) &= \text{Sp} \{ \hat{\rho} \hat{E}^{(-)}(\vec{r}, t) \hat{E}^{(+)}(\vec{r}, t) \} \\ &= |K_1|^2 G^{(1)}(x_1, x_1) + |K_2|^2 G^{(1)}(x_2, x_2) \\ &\quad + 2 \text{Re} [K_1^* K_2 G^{(1)}(x_1, x_2)] \end{aligned} \quad (10.46)$$

wobei wie zuvor $x_i = \vec{r}_i, t_i$ und

$$G^{(n)}(x_i, x_j) = \text{Sp} \{ \hat{\rho} \hat{E}^{(-)}(x_i) \hat{E}^{(+)}(x_j) \}, \quad i, j = 1, 2 \quad (10.47)$$

Beachte:

- * $G^{(1)}(x_1, x_2)$ ist allg. Korrelationsfktn erster Ordnung.
- * $G^{(1)}(x_1, x_1)$ & $G^{(1)}(x_2, x_2)$ sind davon Spezialfälle und entsprechen den von x_1 & x_2 am Detektor ankommenden Intensitäten.